

# 卒研説明会 (小池研究室)

2016年1月30日

## 目次

- ① ゼミを行う曜日および時間帯 & 使用する教科書等
- ② ゼミで研究する内容
- ③ 平均曲率流・リッチ流の研究へと・・・  
(リッチ流は3次元ポアンカレ予想の証明に用いられた)

1. ゼミを行う曜日および時間帯  
& 使用する教科書等

## ゼミを行う曜日および時間帯 & 使用する教科書等

### ゼミを行う曜日および時間帯

金曜日 14:30~17:30

### 教科書

幾何学的変分問題 (西川青季著, 岩波書店)

第1,2章 曲線のエネルギーと第1,2変分公式

第3章 写像のエネルギーと第1,2変分公式

第4章 熱流の方法による (自由ホモトピー類内での)  
調和写像の存在性証明

## ゼミを行う曜日および時間帯 & 使用する教科書等

### ゼミの進め方

- 毎週、1人の方に発表をしてもらいます。  
発表者の方には、下準備をしてもらった上、約2,3日前に私の研究室に来てもらい、1時間程の打ち合わせをした上、発表に臨んでいただきます。
- 前後期、各々、最後に半年行ったゼミの内容について、レポートとしてまとめ、提出してもらいます。

## 2. ゼミで研究する内容

## 曲線のエネルギーと第 1,2 変分公式

$\Omega_{p.s.}(M; p, q)$  : リーマン多様体  $(M, g)$  上の点  $p$  から点  $q$  への区分的に  $C^\infty$  級の  $([0, 1]$  を定義域とする) 曲線の全体

## 定義 (長さ汎関数)

$$L : \Omega_{p.s.}(M; p, q) \rightarrow \mathbb{R}$$
$$\stackrel{\text{def}}{\iff} L(c) := \int_0^1 \sqrt{g(c'(t), c'(t))} dt \quad (c \in \Omega_{p.s.}(M; p, q))$$

## 曲線のエネルギーと第 1,2 変分公式

定義 (エネルギー汎関数)

$$E : \Omega_{\text{p.s.}}(M; p, q) \rightarrow \mathbb{R}$$
$$\stackrel{\text{def}}{\iff} E(c) := \int_0^1 g(c'(t), c'(t)) dt \quad (c \in \Omega_{\text{p.s.}}(M; p, q))$$

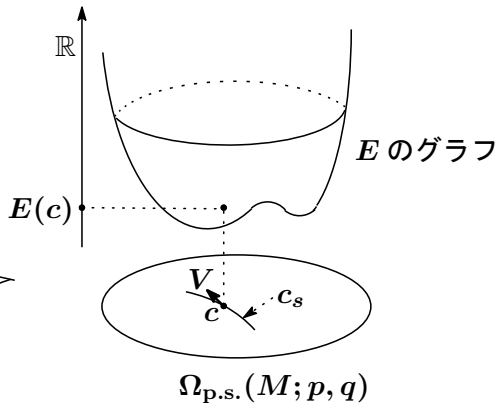
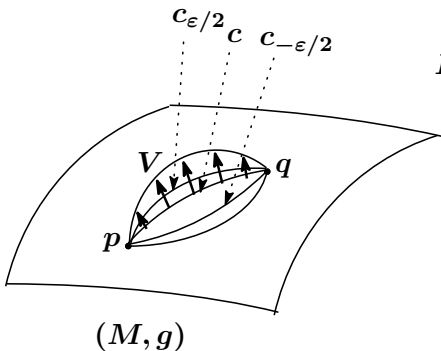


## 曲線のエネルギーと第 1,2 変分公式

$c \in \Omega_{\text{p.s.}}(M; p, q)$  を固定する。

$c_s (-\varepsilon < s < \varepsilon)$  :  $c_0 = c$  となる  $\Omega_{\text{p.s.}}(M; p, q)$  に  
属する曲線からなる  $C^\infty$  族  
(つまり,  $\Omega_{\text{p.s.}}(M; p, q)$  上の  $C^\infty$  曲線)

# 曲線のエネルギーと第 1,2 変分公式



$$V \in T_c(\Omega_{p.s.}(M; p, q))$$

## 曲線のエネルギーと第 1,2 変分公式

$c$  が滑らかであるとする。

### $L$ の第 1 変分公式

$$dL_c(V) = \left. \frac{dL(c_s)}{ds} \right|_{s=0} = -\frac{1}{L(c_0)} \int_0^1 g((\nabla_{c'} c')_t, V_t) dt$$

$$\left( V_t := \left. \frac{dc_s(t)}{ds} \right|_{s=0} \right)$$

### $E$ の第 1 変分公式

$$dE_c(V) = \left. \frac{dE(c_s)}{ds} \right|_{s=0} = -\int_0^1 g((\nabla_{c'} c')_t, V_t) dt$$

$$\left( V := \left. \frac{dc_s}{ds} \right|_{s=0} \right)$$

## 曲線のエネルギーと第 1,2 変分公式

注意

$\Omega_{\text{p.s.}}(M; p, q)$  : 無限次元フレシェ多様体

$E : \Omega_{\text{p.s.}}(M; p, q) \longrightarrow \mathbb{R}$

$dE_c : T_c \Omega_{\text{p.s.}}(M; p, q) \longrightarrow T_{E(c)} \mathbb{R} = \mathbb{R}$

## 曲線のエネルギーと第 1,2 変分公式

## 定義

$$\begin{aligned} c : L \text{ の臨界点} &\stackrel{\text{def}}{\iff} dL_c = 0 \\ &\iff \left. \frac{dL(c_s)}{ds} \right|_{s=0} = 0 \quad (\forall c_s \text{ s.t. } c_0 = c) \end{aligned}$$

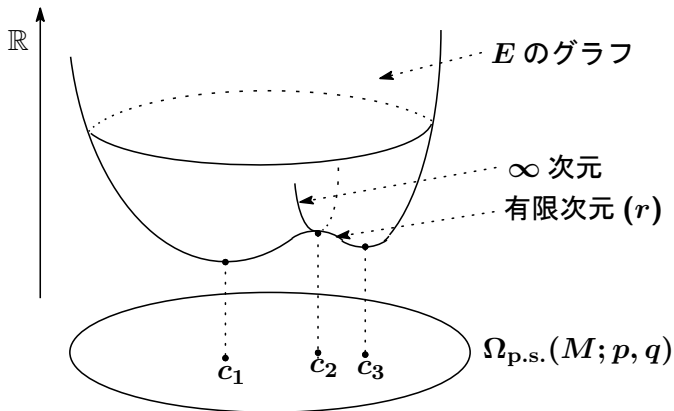
$$\begin{aligned} c : E \text{ の臨界点} &\stackrel{\text{def}}{\iff} dE_c = 0 \\ &\iff \left. \frac{dE(c_s)}{ds} \right|_{s=0} = 0 \quad (\forall c_s \text{ s.t. } c_0 = c) \end{aligned}$$

## 曲線のエネルギーと第 1,2 変分公式

## 定理

$$c : L \text{ の臨界点} \iff c : E \text{ の臨界点} \iff \nabla_{c'} c' = 0$$

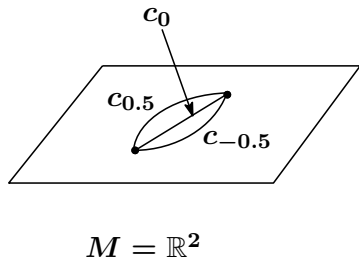
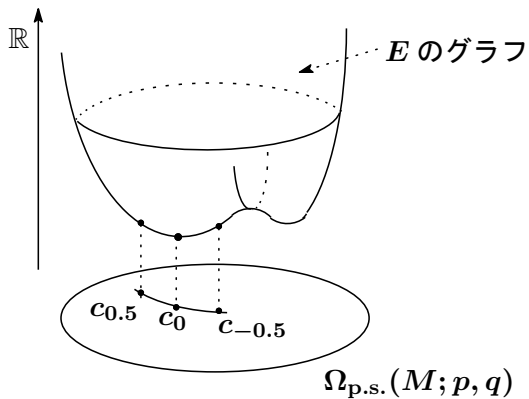
( $c$  : 測地線)



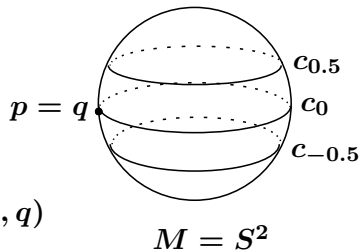
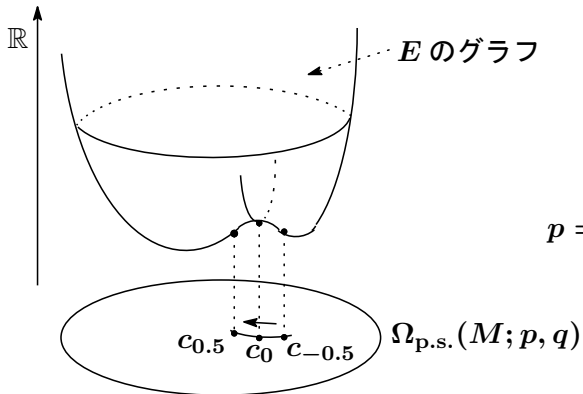
$c_1, c_2, c_3$  :  $E$  の臨界点 (つまり、測地線)

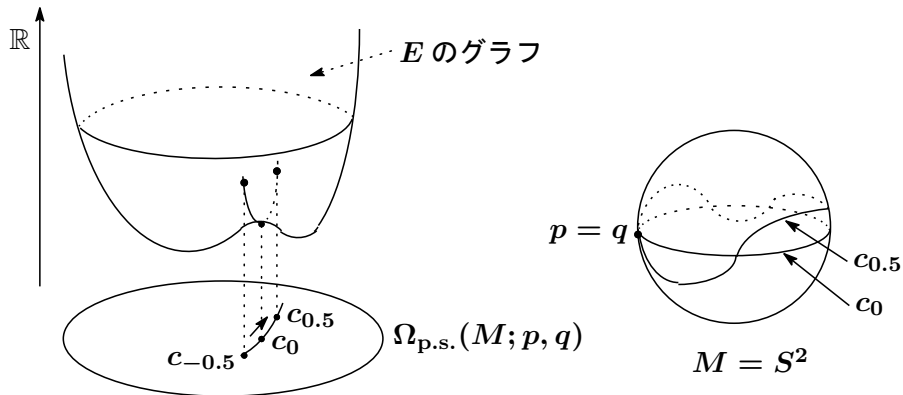
$r$  は臨界点  $c_2$  の指数とよばれる。

臨界点  $c_1, c_2$  の指数は 0 である。









## 曲線のエネルギーと第 1,2 変分公式

$c$  が測地線であるとする。

### $E$ の第 2 変分公式

$$\begin{aligned}
 (\nabla dE)_c(V, V) &= \frac{d^2 E(c_s)}{ds^2} \Big|_{s=0} \\
 &= - \int_0^1 g \left( \frac{D^2 V}{dt^2} + R(V, c')c', V \right) dt \\
 &\quad \left( V := \frac{dc_s}{ds} \Big|_{s=0} \right)
 \end{aligned}$$

( $R : (M, g)$  の曲率テンソル場)

## 曲線のエネルギーと第 1,2 変分公式

$\mathcal{X}_c(M)$  :  $c$  に沿うベクトル場の全体

$$J_c : \mathcal{X}_c(M) \rightarrow \mathcal{X}_c(M)$$

$$\stackrel{\text{def}}{\iff} J_c(V) := \frac{D^2V}{dt^2} + R(V, c')c' \quad (V \in \mathcal{X}_c(M))$$

この作用素  $J_c$  は、測地線  $c$  におけるヤコビ作用素とよばれる。  
 $J_c$  を調べることにより、 $E$  の臨界点  $c$  における指数を調べることができる。

## 写像のエネルギーと第 1,2 変分公式

$(M, g)$  : コンパクトリーマン多様体

$(N, \tilde{g})$  : リーマン多様体

$C^\infty(M, N)$  :  $M$  から  $N$  への  $C^\infty$  写像の全体  
(これは、無限次元フレシェ多様体)

## 定義

$$E : C^\infty(M, N) \rightarrow \mathbb{R}$$

$$\stackrel{\text{def}}{\iff} E(f) := \int_{p \in M} \|df_p\|_{g_p, \tilde{g}_{f(p)}}^2 dv_g \quad (f \in C^\infty(M, N))$$

## 写像のエネルギーと第 1,2 変分公式

$f \in C^\infty(M, N)$  を固定する。

$f_s (-\varepsilon < s < \varepsilon) : f_0 = f$  となる  $C^\infty(M, N)$  上の  
 $C^\infty$  級の曲線

## 写像のエネルギーと第 1,2 変分公式

$f$  が滑らかであるとする。

 $E$  の第 1 変分公式

$$dE_f(V) = \left. \frac{dE(f_s)}{ds} \right|_{s=0} = - \int_M g(\tau(f), V) dV_g$$

$$\left( V := \left. \frac{df_s}{ds} \right|_{s=0} \right)$$

注意  $\tau(f)$  は、 $\tau(f) := \Delta_g f$  によって定義される  $f$  に沿うベクトル場で、 $f$  の **テンション場** とよばれるものである。

特に、 $f$  が等長はめ込みのとき、 $f$  の **平均曲率ベクトル場** と一致する。

## 写像のエネルギーと第 1,2 変分公式

注意

$$E : C^\infty(M, N) \longrightarrow \mathbb{R}$$

$$dE_f : T_f C^\infty(M, N) \longrightarrow T_{E(f)} \mathbb{R} = \mathbb{R}$$



## 写像のエネルギーと第 1,2 変分公式

### 定理

$f : E$  の臨界点  $\iff \tau(f) = 0$  (つまり、 $f$  : 調和写像)

## 写像のエネルギーと第 1,2 変分公式

$f$  が調和写像であるとする。

 $E$  の第 2 変分公式

$$\begin{aligned}
 (\nabla dE)_f(V, V) &= \left. \frac{d^2 E(f_s)}{ds^2} \right|_{s=0} \\
 &= - \int_M g \left( \Delta_g V + \text{Tr}_g \tilde{R}(V, df) df, V \right) dv_g \\
 &\quad \left( V := \left. \frac{df_s}{ds} \right|_{s=0} \right)
 \end{aligned}$$

$(\tilde{R} : (N, \tilde{g})$  の曲率テンソル場)

## 写像のエネルギーと第 1,2 変分公式

$\mathcal{X}_f(M, N)$  :  $f$  に沿うベクトル場の全体

$$J_f : \mathcal{X}_f(M, N) \rightarrow \mathcal{X}_f(M, N)$$

$$\stackrel{\text{def}}{\iff} J_f(V) := \Delta_g V + \text{Tr}_g \tilde{R}(V, df)df \quad (V \in \mathcal{X}_f(M, N))$$

この作用素  $J_f$  は、調和写像  $f$  におけるヤコビ作用素とよばれる。  
 $J_f$  を調べることにより、 $E$  の臨界点  $f$  における指数を調べることができる。

## 熱流の方法による自由ホモトピー類内での調和写像の存在性証明

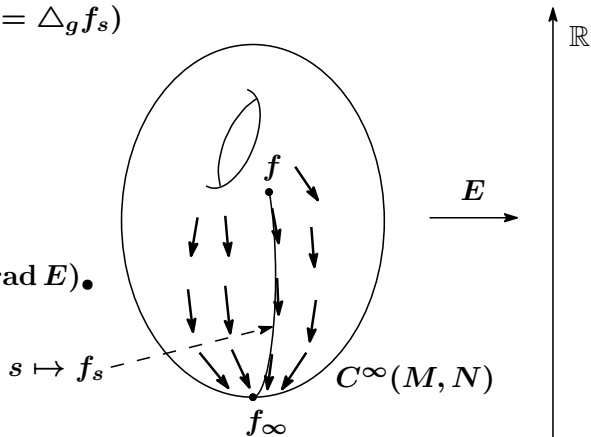
### 定理 (Eells-Sampson)

$(M, g)$  をコンパクトリーマン多様体,  $(N, \tilde{g})$  を非正曲率をもつリーマン多様体とする。このとき、各  $f \in C^\infty(M, N)$  に対し、 $f$  と自由ホモトープな調和写像が存在する。

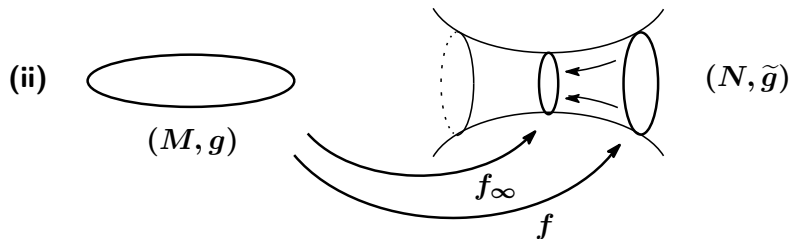
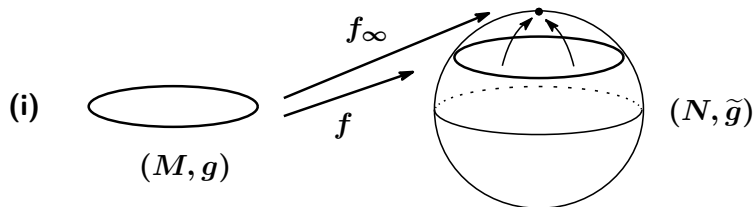
証明方法 無限次元多様体上のモース理論を参考に、**熱流の方法 (heat flow method)** とよばれる方法を用いて示される。

$$\begin{cases} \frac{\partial f_s}{\partial s} = \tau(f_s) (= \Delta_g f_s) \\ f_0 = f \end{cases}$$

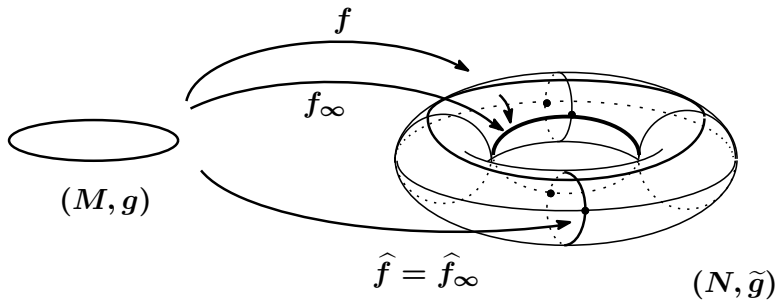
$$\tau(\bullet) = -(\text{grad } E)_\bullet$$



## 熱流の方法による自由ホモトピー類内での調和写像の存在性証明



## 熱流の方法による自由ホモトピー類内の調和写像の存在性証明



## 熱流の方法による自由ホモトピー類内での調和写像の存在性証明

熱方程式

$$\frac{\partial f_t}{\partial t} = \Delta_g f_t$$

は、非線形放物型偏微分方程式であり、任意の滑らかな初期データに対し、短時間における解の一意存在性が示される。



## 平均曲率流

大学院進学希望者のために、発展的内容について紹介します。

$M$  :  $m$  次元コンパクト多様体

$(N, \tilde{g})$  :  $n(> m)$  次元リーマン多様体

$\text{Imm}^\infty(M, N)$  :  $M$  から  $N$  への  $C^\infty$  はめ込みの全体

$f_t (0 \leq t < T)$  :  $\text{Imm}^\infty(M, N)$  上の  $C^\infty$  級の曲線

$$(1) \quad \frac{\partial f_t}{\partial t} = H_t$$

$(H_t : f_t$  の平均曲率ベクトル場) が成り立つとき、  
 $f_t (0 \leq t < T)$  を平均曲率流とよぶ。

## 平均曲率流

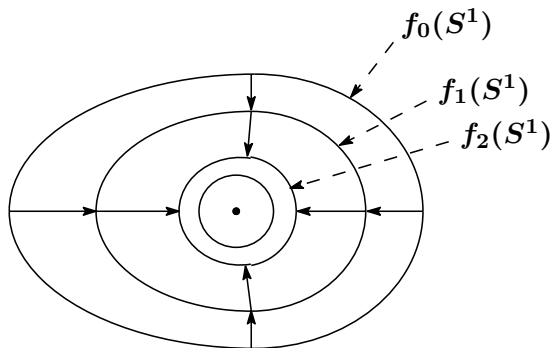
注意

$(N, \tilde{g})$  がユークリッド空間のとき、 $H_t = \Delta_{g_t} f_t$  ( $g_t := f_t^* \tilde{g}$ ) となり、それゆえ、(1) は、

$$\frac{\partial f_t}{\partial t} = \Delta_{g_t} f_t$$

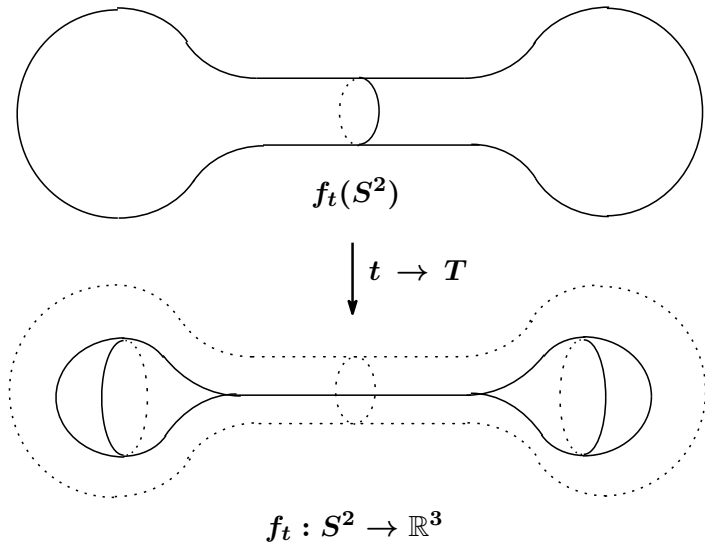
となる。これは、非線形放物型偏微分方程式であり、任意の滑らかな初期データに対し、短時間における解の一意存在性が示される。

## 平均曲率流



$$f_t : S^1 \rightarrow \mathbb{R}^2$$

# 平均曲率流



## 3次元ポアンカレ予想の解決に用いられたリッチ流

$M$  : コンパクト多様体

$\mathcal{RM}^\infty(M)$  :  $M$  の  $C^\infty$  リーマン計量の全体

$g_t$  ( $0 \leq t < T$ ) :  $\mathcal{RM}^\infty(M)$  上の  $C^\infty$  級の曲線

$$(2) \quad \frac{\partial g_t}{\partial t} = \text{Ric}_t$$

( $\text{Ric}_t$  :  $g_t$  のリッチテンソル) が成り立つとき、 $g_t$  ( $0 \leq t < T$ ) をリッチ流とよぶ。

## 3次元ポアンカレ予想の解決に用いられたリッチ流

3次元ポアンカレ予想は、リッチ流を用いて次のように証明された。

$\Sigma^3$  を3次元ホモトピー球面とする。

$\Sigma^3$  のリーマン計量  $g$  を任意にとり、 $g_0 = g$  となるリッチ流  $g_t$  を考える。

$g_t$  は、有限時間 (これを  $T$  とする) で爆発をしてしまう。

爆発をする寸前に手術をする。

そして、その手術をして得られるリーマン計量を  $g_1$  とする。

### 3次元ポアンカレ予想の解決に用いられたリッチ流

$g_1$  を発するリッチ流  $(g_1)_t$  を考える。

$(g_1)_t$  は、再び有限時間 (これを  $T_1$  とする) で爆発をしてしまう。  
爆発をする寸前に、再び手術をする。

そして、その手術をして得られるリーマン計量を  $g_2$  とする。

この操作を有限回繰り返すことにより、良いリーマン計量に到達する。

$\Sigma^3$  がその良いリーマン計量を許容することから、3次元球面  $S^3$  と同相であることが示される。